

В заключение авторы благодарят В. В. Соковишина, Д. Р. Хохлова и В. Н. Никифорова за помощь в проведении измерений и обсуждении результатов.

### СПИСОК ЛИТЕРАТУРЫ

[1] Акимов Б. А., Брандт Н. Б. и др. ФТТ, 24, 1982, с. 1026. [2] Акимов Б. А., Брандт Н. Б. и др. Письма в ЖЭТФ, 1979, 29, с. 11. [3] Вул Б. М., Воронова И. Д. и др. Письма в ЖЭТФ, 1979, 29, с. 21. [4] Волков Б. А., Панкратов О. А. ДАН СССР, 1980, 255, с. 93.

Поступила в редакцию  
07.06.82

ВЕСТН. МОСК. УН-ТА. СЕР. 3. ФИЗИКА. АСТРОНОМИЯ, 1982, т. 23, № 6

УДК 530.12:531.51

### К ВОПРОСУ ОБ ИЗМЕНЕНИИ $\epsilon/m$ В ПЯТИМЕРНОЙ ТЕОРИИ ГРАВИТАЦИИ, ЭЛЕКТРОМАГНЕТИЗМА И СКАЛЯРНОГО ПОЛЯ

Ю. С. Владимиров, В. В. Кислов

(кафедра теоретической физики)

Попытки объединения гравитации и электромагнетизма в рамках единой теории стали предприниматься сразу же после создания общей теории относительности. В работе Калуцы [1] был предложен пятимерный вариант единой теории. Однако этот вариант и первые его модификации обладали рядом существенных недостатков, отмеченных в свое время Эйнштейном [2] и др. Главным из недостатков было отсутствие предсказаний новых эффектов.

В последнее время вновь оживился интерес к такого рода и более общим единым теориям, в частности, удалось устранить большинство недостатков первых вариантов пятимерных теорий [3, 4]. Одно из предсказаний пятимерной теории изложено в данной работе.

Рассмотрим пятимерное риманово пространство, в котором пятая координата ассоциируется с введением в теорию электрического заряда. 5-метрику запишем в виде

$$G_{AB} = \begin{pmatrix} \varphi^2 g_{\mu\nu} - \frac{4k}{c^4} \varphi^2 A_\mu A_\nu & \frac{2\sqrt{k}}{c^2} A_\nu \varphi^2 \\ \frac{2\sqrt{k}}{c^2} \varphi^2 A_\mu & -\varphi^2 \end{pmatrix},$$

где  $g_{\mu\nu}$  — метрика 4-мерного физического пространства-времени,  $A_\mu$  — векторный потенциал электромагнитного поля,  $k$  — ньютоновская постоянная тяготения,  $c$  — скорость света,  $\varphi$  — некоторый возникающий в теории дополнительный фактор, описывающий скалярное поле.

Запишем уравнения Эйнштейна в 5-мерном пространстве-времени:

$${}^5R_{AB} - \frac{1}{2} G_{AB} {}^5R = \kappa Q_{AB},$$

где  $A, B=0, 1, 2, 3, 5$ ; тензор Риччи  ${}^5R_{AB}$  и скалярная кривизна  ${}^5R$  определяются стандартным образом на основе метрики  $G_{AB}$ , а  $Q_{AB}$  — пятимерный тензор внешней материи. Производя 1+4-расщепление 5-мерного пространства-времени [4], выделяя явно пятую координату (т. е. представляя  $G_{AB} = \tilde{g}_{AB} - \lambda_A \lambda_B$ , где  $\lambda_A = G_{A5}$ ,  $\tilde{g}_{\mu\nu} = \varphi^2 g_{\mu\nu}$ ,  $\tilde{g}_{\mu 5} = 0$ ), и

приняв также условие квазицилиндричности по пятой координате, когда от  $x^5$  не зависят 4-метрика  $g_{\mu\nu}$  и  $A_\mu = -\frac{c^2}{2\sqrt{k}} \frac{G_{5\mu}}{G_{55}}$ , а может зависеть лишь скалярное поле  $\varphi^2 = -G_{55}$ , получим для соответствующих проекций 10 уравнений Эйнштейна, 4 уравнения второй пары уравнений Максвелла и уравнение Клейна — Фока:

$$\begin{aligned} {}^4R_{\mu\nu} - \frac{1}{2} g_{\mu\nu} {}^4R &= -\frac{2k}{c^4} \left( F_{\mu\alpha} F_{\nu}^{\alpha} - \frac{1}{4} g_{\mu\nu} F_{\alpha\beta} F^{\alpha\beta} \right) + \\ + \frac{3}{\varphi} (\nabla_\mu^+ \nabla_\nu^+ \varphi - g_{\mu\nu} g^{\alpha\beta} \nabla_\alpha^+ \nabla_\beta^+ \varphi) - \frac{6}{\varphi^2} \nabla_\mu^+ \varphi \nabla_\nu^+ \varphi + 3g_{\mu\nu} \frac{\varphi_{,55}}{\varphi} + \kappa T_{\mu\nu}, \quad (1) \\ - \nabla_\nu^+ [\varepsilon F^{\nu\mu}] &= \varepsilon \left[ \frac{3c^2}{\sqrt{k}} g^{\mu\nu} \left( \frac{\nabla_\nu^+ \varphi_{,5}}{\varphi} - \frac{2\varphi_{,5}}{\varphi^2} \nabla_\nu^+ \varphi \right) + \right. \\ &\quad \left. + \frac{c^2 \kappa}{\sqrt{k}} \varphi^3 Q_{AB}^{\mu} \lambda^B \right], \quad \varepsilon = \varphi^3, \\ g^{\alpha\beta} \nabla_\alpha^+ \nabla_\beta^+ \varphi - \frac{1}{6} {}^4R \varphi - \left( \frac{k}{2c^4} F_{\alpha\beta} F^{\alpha\beta} + \frac{2\varphi_{,5}^2}{\varphi^2} \right) \varphi &= -\frac{\kappa}{3} \varphi^3 Q_{AB} \lambda^A \lambda^B, \end{aligned}$$

где  $\nabla_\alpha^+ = \nabla_\alpha + \frac{2\sqrt{k}}{c^2} A_\alpha \frac{\partial}{\partial x^5}$ ,  $T_{\mu\nu} = Q_{AB} G_\mu^A G_\nu^B$ ,

$\lambda^A$  — пятимерная молада [4],  $F_{\mu\nu}$  — тензор электромагнитного поля.

Уравнение геодезической для пробной частицы также может быть записано в пятимерном виде [4]:

$$\frac{d^2 x^A}{dl^2} + P_{BC}^A \frac{dx^B}{dl} \frac{dx^C}{dl} = 0,$$

где  $P_{BC}^A$  — пятимерные символы Кристоффела,  $dl^2 = G_{AB} dx^A dx^B$ . Проводя опять 1+4-расщепление, получим

$$\frac{du^\mu}{ds} = -\Gamma_{\alpha\beta}^{\mu} u^\alpha u^\beta - \frac{2\sqrt{k}}{c^2} \frac{d\lambda}{ds} F_{\alpha\mu}^{\mu} u^\alpha + \left[ 1 - \left( \frac{d\lambda}{ds} \right)^2 \right] (\Phi^\mu - \Phi_{\alpha\mu} u^\alpha), \quad (2)$$

$$\frac{d}{ds} \ln \left| \left( \frac{d\lambda}{ds} \right)^2 / 1 - \left( \frac{d\lambda}{ds} \right)^2 \right| = -2 \frac{d}{ds} \ln \varphi, \quad (3)$$

где  $\Phi_\mu = \frac{1}{\varphi} \nabla_\mu^+ \varphi$ ,  $\frac{d\lambda}{ds} = \frac{q}{2\sqrt{k}m}$ .

Тогда из (2) находим

$$\left( \frac{d\lambda}{ds} \right)^2 = \frac{W_1}{\varphi^2 + W_1},$$

где  $W_1$  — константа интегрирования, или

$$\frac{q^2}{4km^2} = \frac{W_0}{\varphi^2 + W_0(1 - \varphi^2)}, \quad W_0 = \frac{q^2}{4km^2} \Big|_{\varphi^2=1} = \frac{q_0^2}{4km_0^2}. \quad (4)$$

Отсюда видно, что отношение электрического заряда к массе пробной частицы зависит от значения поля  $\varphi$  в данной точке. Последнее определяется решением системы уравнений (1).

Точное статическое сферически-симметричное решение этих уравнений в вакууме ( $Q_{AB}=0$ ,  $A_\mu=0$ ) найдено [5]. Оно обобщает решение Шварцшильда и описывает, в частности, метрику пространства-времени

вокруг Земли или Солнца. Более удобно использовать приближенное решение [4]:

$$ds^2 \approx \left[ 1 - (1 - \alpha) \frac{r_g}{r} \right] dx_0^2 - \left[ 1 + (1 + 2\alpha) \frac{r_g}{r} \right] dr^2 - r^2 (d\theta^2 + \sin^2 \theta d\varphi^2), \quad (5)$$

$$\varphi^2 \approx 1 - \alpha \frac{r_g}{r} - \frac{\alpha(\alpha + 1)}{2} \left( \frac{r_g}{r} \right)^2, \quad (6)$$

где  $r_g = 2kM/c^2$  — гравитационный радиус источника,  $\alpha$  — некоторая константа,  $\alpha r_g$  характеризует «скалярный заряд» источника.

Подставляя (5) — (6) в (2), стандартными вычислениями можно найти поправки к классическим эффектам ОТО. Так, для смещения перигелия Меркурия за один оборот имеем

$$\delta\varphi = \frac{3}{2} \pi r_g \left( \frac{1}{r_{\min}} + \frac{1}{r_{\max}} \right) (1 + 2\alpha) = \delta\varphi_0 (1 + 2\alpha),$$

где  $\delta\varphi_0$  — смещение, вычисленное в рамках ОТО. Для отклонения лучей света, проходящих на расстоянии  $R$  от источника,

$$\delta\beta = \frac{2r_g}{R} \left( 1 - \frac{\alpha}{2} \right) = \delta\beta_0 \left( 1 - \frac{\alpha}{2} \right).$$

Значение константы  $\alpha$  неизвестно, она может оказаться очень малой, а общерелятивистские эффекты в настоящий момент измеряются с точностью лишь порядка 1%.

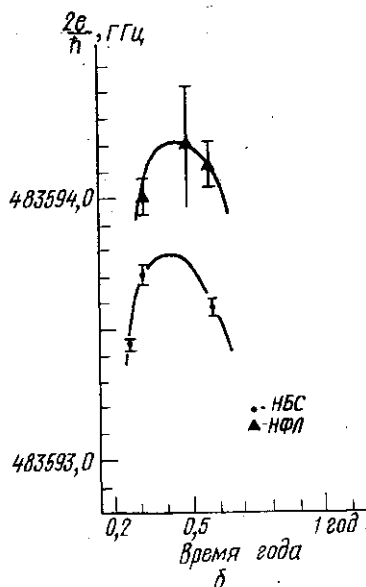
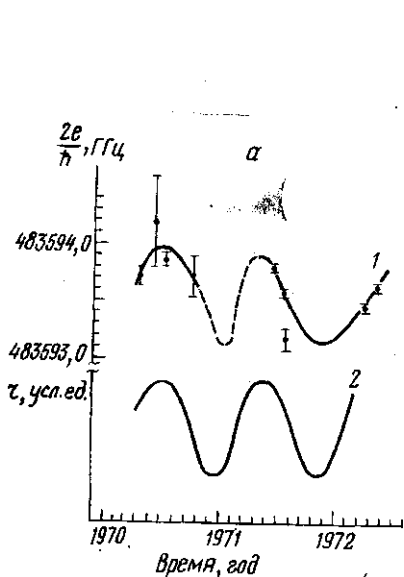
Значительно более существенные эффекты пятимерия можно ожидать, используя пятое уравнение геодезической (3). Подставляя (6) в (4), находим для отношения электрического заряда к массе в первом приближении по  $r_g/r$ :

$$\frac{q^2}{m^2} = \frac{q_0^2}{m_0^2} \left( 1 - \alpha \frac{r_g}{r} \frac{q_0^2}{4km_0^2} \right). \quad (7)$$

Отсюда следует, что это отношение, измеренное на Земле, должно изменяться с высотой из-за влияния скалярного заряда Земли. Кроме того, это отношение должно изменяться вместе с изменением расстояния  $r$  от Земли до Солнца (из-за влияния скалярного заряда Солнца на отношение  $q/m$ ). Учитывая, что орбита Земли — эллипс (максимальное расстояние в начале июля  $\sim 152$  млн. км и минимальное расстояние в начале января  $\sim 147$  млн. км), следует ожидать сезонных изменений отношения  $q/m$  для измерений, проведенных на Земле. При этом наиболее выгодно производить измерения для частиц с максимальным значением  $q/m$ , т. е. для электронов  $e/m \approx 10^{18}$ . Величина вариаций зависит от отношения  $r_g/r$ , а также от значения параметра  $\alpha$ , который должен быть определен экспериментально. Есть косвенные указания на то, что это может быть сделано уже при существующей точности экспериментальных измерений. Оказалось, что результаты измерений джозефсоновской частоты \*  $\omega_J = 2e/\hbar$  обнаруживают тенденцию зависимости величины  $\omega_J$  от времени года. Ниже (таблица) мы воспроизводим данные лабораторий НБС (США), ИФЛ (Великобритания), ИЛС (Австралия), ФФТБ (ФРГ), приведенные в работе [6, с. 181].

\* Заметим, что при измерениях джозефсоновской частоты фактически полагаюсь  $m = \text{const}$ , однако нам представляется, что на самом деле измерялась величина, пропорциональная  $e/m$  (если считать, что  $\hbar = \text{const}$ ).

| Лаборатория | $2e/h$ , ГГц/Vлаб | Погрешность, $10^{-6}$ | Приблизительный период проведения измерений | Предполагаемое точное среднее время измерений (год и доли года) |
|-------------|-------------------|------------------------|---|---|
| НБС         | 483593,718 (60)   | 0,12                   | февраль—май                                 | 1970,33   |
| НФЛ         | 483594,2 (4)      | 0,8                    | июнь  | 1970,50   |
| НЛС         | 483593,84 (5)     | 0,1                    | июнь—июль                                   | 1970,52   |
| ФФТБ        | 483593,7 (2)      | 0,4                    | осень                                       | 1970,79   |
| НБС         | 483593,589 (24)   | 0,05                   | июль—август                                 | 1971,57   |
| НФЛ         | 483594,15 (10)    | 0,02                   | июль  | 1971,58   |
| НЛС         | 483593,80 (5)     | 0,1                    | июнь—июль                                   | 1971,49   |
| НБС         | 483593,444 (24)   | 0,05                   | апрель                                      | 1972,29   |
| ФФТБ        | 483593,606 (19)   | 0,04                   | май   | 1972,38   |



Характер изменения джозефсоновской частоты (1) и расстояния Солнце — Земля (2) по суммарным данным [6] — а и по данным НФЛ и НБС в отдельности (б)

Расстояние от Земли до Солнца изменяется аналогично изменению величины  $\omega_J$  на рисунке.

Итак, задача состоит в проведении прямого эксперимента по проверке зависимости отношения заряда электрона к массе ( $e/m$ ) от времени года, точнее, от расстояния до Солнца.

#### СПИСОК ЛИТЕРАТУРЫ

- [1] Калужа Т. В. в кн.: Альберт Эйнштейн и теория гравитации. М.: Мир, 1979, с. 529 [2] Эйнштейн А. Собр. науч. трудов. Т. 2. М.: Наука, 1960. [3] Владимиров Ю. С. В кн.: Тез. докл. Всесоюз. конф.: «Соврем. теорет. и эксперим. пробл. теории относительности и гравитации». М.: Изд-во МГУ, 1981, с. 123 [4] Владимиров Ю. С. Системы отсчета в теории гравитации. М.: Энергоиздат, 1982. [5] Cramer D. K. Acta phys. polon., 1971, В2, р. 307. [6] Квантовая метрология и фундаментальные константы / Под ред. Р. Н. Фаустова и В. П. Шелеста. М.: Мир, 1981.

Поступила в редакцию  
16.04.82